

维生素 D 受体基因型、单体型与乳腺癌发病风险的相关性研究

黄友泽 陆 红 白永恒 陈以勒 曾云祥 潘贻飞

摘要 **目的** 探讨维生素 D 受体(VDR)基因型、单体型与乳腺癌发病风险关系。**方法** 选取 146 例乳腺癌患者和 320 例非癌女性对照人群为研究对象,应用 PCR-RFLP 检测 VDR 基因 rs1544410、rs7975232 和 rs731236 点的多态性,采用 ELISA 检测血浆中 1,25(OH)₂D₃ 含量,结果用 SPSS 13.0 软件进行分析。**结果** 3 个位点中仅 rs7975232 基因型与乳腺癌发病相关。与纯合子 GG 相比,杂合子基因型 TT 具有较低的发病风险($P=0.001$, OR = 0.460, 95% CI: 0.286 ~ 0.740)。但不同的基因型之间 1,25(OH)₂D₃ 含量并无差异。此外,单体型 AGT 在病例组分布频率为 3.8%,显著高于对照组的分布频率(0.8%, $P=0.002$);而单体型 GTT 在病例组的分布则显著低于对照组(19.8% vs 26.7%, $P=0.018$)。**结论** VDR 基因与乳腺癌发病存在一定相关;携带单体型 GTT 的女性具有较低的患乳腺癌风险,而单体型 AGT 则发病风险较高。

关键词 维生素 D 受体 单体型 基因型 乳腺癌

Relationship between Genotypes and Haplotypes of Vitamin D Receptor Gene and Breast Cancer Risk. Huang Youze, Lu Hong, Bai Yongheng, et al. The 8th People Hospital of Wenzhou City, Zhejiang 325000, China

Abstract **Objective** To investigate the relationship between genotypes and haplotypes in the vitamin D receptor (VDR) gene and breast cancer risk. **Methods** Samples were collected from 146 breast cancer patients and 320 non-cancer female controls. The genotypes were detected by PCR-RFLP and confirmed by sequencing. The levels of plasma 1,25(OH)₂D₃ were measured by ELISA. The association between genotype and allelic frequencies with protein levels were calculated and analyzed by SPSS 13.0 software. **Results** Of three SNPs, only rs7975232 TT was shown to associate with 0.46-fold risk of breast cancer. No association of VDR genotypes and the levels of plasma 1,25(OH)₂D₃ were found. Additionally, the frequency of haplotype AGT was 3.8% in cases, significantly higher than that in controls (0.8%, $P=0.002$). However, the frequency of haplotype GTT in cases were significantly lower than that in controls (19.8% vs 26.7%, $P=0.018$). **Conclusion** VDR gene polymorphisms are related to breast cancer risk. Individuals with haplotype GTT show lower risk, but the individuals with haplotype AGT have higher risk.

Key words Vitamin D receptor; Genotype; Haplotype; Breast cancer

乳腺癌是女性最常见的恶性肿瘤之一,但其发病的确切分子机制到目前为止尚未清楚。近年来发现,维生素 D 受体(vitamin D receptor, VDR)可能在乳腺癌的病因学中起着重要的作用^[1,2]。本研究拟通过分析 VDR 基因 3'端 UTR 区域 rs1544410、rs7975232 和 rs731236 点的基因型、等位基因和单体型,并检测血浆中 1,25(OH)₂D₃ 含量,旨在从遗传功能学角度探讨其与乳腺癌遗传易感性的关系,从而有助于了解疾病的发病机制。

对象与方法

1. 研究对象:收集温州医学院附属第一医院 2009 年 3 月~2010 年 5 月住院后经病理确诊的 146 例乳腺癌患者,年龄分布为 28~78 岁,平均年龄为 50.7 岁。同时选取同期 320 例在该院进行健康体检的女性作为对照人群,对照人群均无相关临床症状,无肿瘤和遗传病史。对照组年龄为 22~84 岁,平均年龄为 44.9 岁。所有患者及健康对照人群均为汉族,且无血缘关系。本研究经医院医学伦理委员会批准,所有受试对象或家属均知情同意。

2. 研究方法:(1)标本采集、血浆分离和总 DNA 提取:抽取乳腺肿瘤患者和健康人群用 EDTA·K₂ 抗凝的外周血 5ml,用全血 DNA 提取试剂盒(飞捷生物公司)提取全基因组 DNA,置于 -20℃ 保存,备用。(2)引物设计和基因分型:根据文献报道设计引物,由上海捷瑞生物公司合成^[3]。PCR 反应体系:10 × EasyTaq Buffer 5μl, 25mmol/L 的 MgCl₂ 0.5μl, 各含 25mmol/L 的 dNTP 混合液 0.5μl, 10μmol/L 的引物 P₁ 和 P₂

基金项目:温州市鹿城区科技计划项目(S10106)

作者单位:325000 温州市第八人民医院检验科(黄友泽、陈以勒、曾云祥);温州医学院附属第一医院实验诊断中心(陆红);外科实验室(白永恒、潘贻飞)

通讯作者:白永恒,电子信箱:greatsailor@163.com

各 0.4 μl, 80 ~ 200ng DNA 模板, 5U/μl 的 EasyTaq DNA 聚合酶 0.25 μl (TransGen Biotech), 加水至 50 μl。PCR 退火温度、引物序列和酶切条件见表 1。随机筛选部分样本送公司测序进行突变验证。(3) 1,25(OH)₂D₃ 含量检测 采用双抗体夹心 ELISA 法检测血浆中 1,25(OH)₂D₃ 水平, 即用抗人 1,25

(OH)₂D₃ 单抗包被于酶标板上, 标准品和样品中的 1,25(OH)₂D₃ 与单抗结合, 加入酶标抗体, 形成免疫复合物连接在板上, 加入酶底物 TMB, 出现蓝色, 加终止液硫酸, 颜色变黄, 在 450nm 处测 OD 值。1,25(OH)₂D₃ 浓度与 OD 值成正比, 通过绘制标准曲线求出标本中 1,25(OH)₂D₃ 浓度。

表 1 PCR-RFLP 技术分析 VDR 基因多态性引物和酶切条件

| SNPs | 引物(5'→3') | 碱基变异 | 退火温度 | 选择性内切酶 |
|-------|------------------------------------|------|------|-----------|
| Bsm I | CAACCAAGACTACAAGTACCGCGTCAGTGA (F) | G/A | 57℃ | MvaI269 I |
| | AACCAGCGGGAAGAGGTCAAGGG (R) | | | |
| Apa I | CAGAGCATGGACAGGGAGCAA (F) | G/T | 60℃ | Apa I |
| | GCAACTCCTCATGGCTGAGGTCTC (R) | | | |
| Taq I | CAGAGCATGGACAGGGAGCAA (F) | T/C | 60℃ | Taq I |
| | GCAACTCCTCATGGCTGAGGTCTC (R) | | | |

3. 统计学方法: 对照人群的 3 个位点基因型进行 Hardy-Weinberg 平衡检验, 采用非条件 Logistic 回归分析基因型、等位基因在病例对照中的分布差异; 采用两样本 t 检验分析不同基因型间 1,25(OH)₂D₃ 含量差异。应用 SHEsis 平台评价 VDR 单体型分布差异, 结果用 P < 0.05 作为判定统计上差异的标准^[4]。

结 果

1. 乳腺癌和对照组 VDR 基因型和等位基因分布情况: 图 1 显示 rs1544410、rs7975232 和 rs731236 位

点的基因型电泳和测序结果。对照人群 VDR 基因 3 个位点的基因型进行 Hardy-Weinberg 平衡检验, 检测得到基因型的观察值与预期值差异均无统计学意义, 提示收集的样本具有群体代表性。此外, 研究发现 rs731236 位点多态性与乳腺癌相关, 见表 2。与野生型纯合子 GG 相比, 杂合子基因型 TT 在病例对照中的分布具有统计学差异 (P = 0.001), 经过年龄校正的 OR = 0.460, 95% CI: 0.286 ~ 0.740。

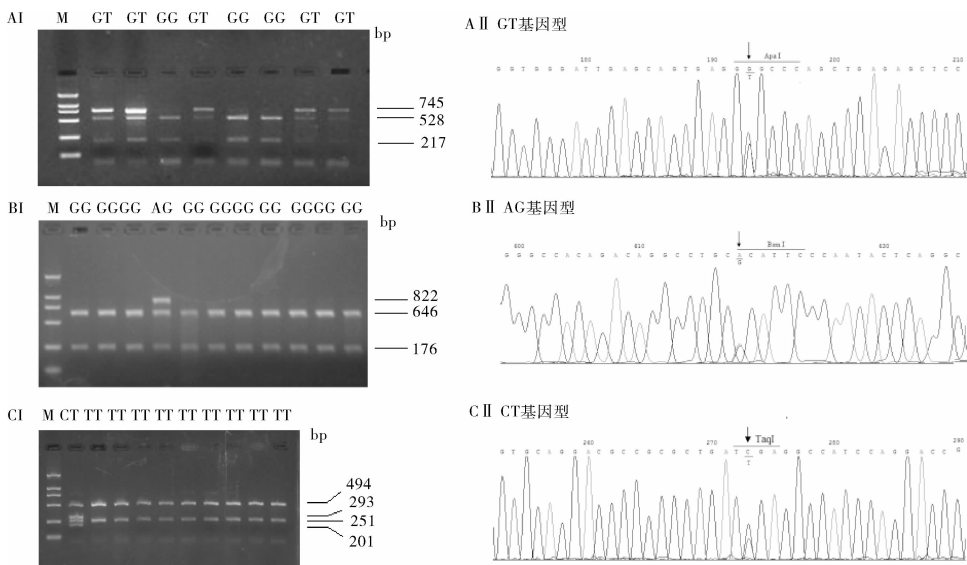


图 1 VDR 基因 rs1544410、rs7975232 和 rs731236 点的基因型电泳图和测序结果图

2. VDR 基因型与血浆中 1,25(OH)₂D₃ 的关系: 随机挑选了 90 例病例组和 90 例对照人群检测血浆中的 1,25(OH)₂D₃ 含量, 结果显示病例组中其含量为 524.83 ± 380.45 pmol/ml, 明显低于健康对照人群

中 1,25(OH)₂D₃ 的含量 (781.45 ± 373.05 pmol/ml, P = 0.041), 但不同基因型之间 1,25(OH)₂D₃ 的含量则无统计学意义 (数据未列出)。

表 2 乳腺癌和对照组 VDR 基因型和等位基因分布情况 [n(%)]

| SNPs | | 病例组 | 对照组 | OR(95% CI) * | P |
|-----------|---------|------------|------------|--------------------|-------|
| rs1544410 | GG(wt) | 120(82.19) | 283(88.44) | 1.00(ref) | |
| | GA(ht) | 25(17.12) | 37(11.56) | 1.577(0.890~2.794) | 0.119 |
| | AA(mut) | 1(0.69) | 0(0) | - | - |
| | G | 265(90.75) | 603(94.22) | 1.00(ref) | |
| | A | 27(9.25) | 37(5.78) | 1.641(0.959~2.809) | 0.071 |
| rs7975232 | GG(wt) | 90(61.64) | 148(46.25) | 1.00(ref) | |
| | GT(ht) | 34(23.29) | 132(41.25) | 1.073(0.584~1.972) | 0.820 |
| | TT(mut) | 22(15.07) | 40(12.50) | 0.460(0.286~0.740) | 0.001 |
| | G | 214(73.29) | 428(66.87) | 1.00(ref) | |
| | T | 78(26.71) | 212(33.13) | 0.813(0.591~1.119) | 0.204 |
| rs731236 | TT(wt) | 130(89.04) | 286(89.38) | 1.00(ref) | |
| | CT(ht) | 16(10.96) | 33(10.31) | 1.117(0.575~2.171) | 0.743 |
| | CC(mut) | 0(0) | 1(0.31) | - | - |
| | T | 276(94.52) | 605(94.53) | 1.00(ref) | |
| | C | 16(5.48) | 35(5.47) | 1.056(0.558~1.999) | 0.868 |

* 非条件 Logistic 回归分析,经过年龄校正,wt 为野生型,ht 为杂合型,mut 为突变株

3. VDR 基因单体型分析: SHEsis 软件显示 VDR 基因 rs1544410、rs7975232 和 rs731236 点存在较强连锁不平衡现象。对人群进行分析发现 VDR 基因以单体型 GGT 为主,GTT 次之,而单体型 AGC 和 GGC 分布最少,如表 3 所示。本研究显示单体型 AGT 在病例组中分布频率为 3.8%,明显高于对照组中的分布

频率(0.8%, $P=0.002$);而单体型 GTT 在病例组中分布频率(19.8%)则明显低于对照组(26.7%, $P=0.002$)。单体型结果提示携带有 GTT 单体型的女性具有较低的患乳腺癌风险($OR=0.666$),而 AGT 单体型则发病风险较高($OR=4.632$)。

表 3 VDR 基因单体型在病例和对照组中的分布情况 [n(%)]

| 单体型 | 病例组 | 对照组 | OR(95% CI) | P |
|-----|--------------|--------------|---------------------|-------|
| AGC | 0.00(0.0) | 2.93(0.5) | - | - |
| AGT | 11.17(3.8) | 5.39(0.8) | 4.632(1.641~13.072) | 0.002 |
| ATC | 11.77(4.0) | 18.79(2.9) | 1.374(0.654~2.887) | 0.400 |
| ATT | 4.05(1.4) | 9.89(1.5) | - | - |
| GGC | 0.00(0.0) | 3.03(0.5) | - | - |
| GGT | 202.82(69.5) | 419.65(65.6) | 1.166(0.857~1.588) | 0.328 |
| GTC | 4.22(1.4) | 9.26(1.4) | - | - |
| GTT | 57.95(19.8) | 171.06(26.7) | 0.666(0.475~0.934) | 0.018 |

讨 论

活性维生素 D 及其衍生物在体内对靶细胞的生理生化效应,不仅表现在调节骨骼、肠道的钙磷代谢,调节机体的免疫力,同样也表现在对肿瘤细胞的增殖和凋亡的调控作用。研究显示血清中低水平的 1,25(OH)₂D₃ 与乳腺癌的进展相关,这可能是通过关键分子维生素 D 受体(VDR)的介导,进而诱导细胞凋亡或经由 RB-E2F 通路来抑制乳腺癌细胞的增殖或转移来实现的^[5]。此外,免疫组织化学结果显示 VDR 蛋白不仅在 70%~90% 的乳腺癌组织中有表达,并且在不同癌细胞系中表达水平不一样^[6]。鉴于 VDR 结构和(或)功能,以及血循环中维生素 D 的

水平可潜在地受 VDR 基因多态性的影响,故 VDR 的基因多态性与乳腺癌易感性的关系备受关注。

rs1544410(*BsmI*)、rs7975232(*ApaI*)和 rs731236(*TaqI*)位点是 VDR 基因最常见的 SNP 位点,均位于 VDR 基因 3'末端,该区域的基因变异呈现出连锁不平衡现象,并且潜在地与 VDR mRNA 的表达水平相关^[7]。多数学者认为 rs1544410 位点 A 等位基因的存在能降低乳腺癌的发病或转移风险。在英国和美国妇女中,携带有 rs1544410 GG 基因型分别会增加 1.92 和 1.53 倍发生乳腺癌的风险^[8,9]。若血清 1,25(OH)₂D₃ 水平低于 50nmol/L 同时携带 rs1544410 GG 基因型的女性发生乳腺癌的风险则会增加到

6.82 倍^[10]。对于 rs731236 位点, Lundin 等^[11] 认为 CC 基因型患者的病死率(22%) 远低于 TT 型(41%) 或 CT 型(44%) 的病人, 且 TT 型病人的癌肿发生淋巴转移的危险比携带 C 等位基因的患者明显增加。本研究以浙江地区汉族妇女作为研究对象, 未发现这两个基因型与乳腺癌相关, 但发现 rs7975232 位点与乳腺癌相关, 携带有 TT 基因型的人群较 GG 基因型患乳腺癌的风险低。我们的研究与来自于澳大利亚的研究结果相符, 后者揭示 G 等位基因或 GG 基因型可以增加乳腺癌的患病率^[12]。此外, 单体型研究也发现 GTT 具有较低的患乳腺癌风险, 而单体型 AGT 则发病风险较高。

此外, 研究发现血浆中 1,25(OH)₂D₃ 含量与基因型分布频率差异并无直接相关, 提示基因型差异可能通过其他某种途径实现其对乳腺癌细胞的影响。然而本研究还存在一些不足, 如研究还缺乏评价女性患者的绝经状态、ER 和 PR 表达情况, 另外, 样本和分析的位点数量不足, 未对多个人群进行横向比较研究等, 相信做好这些方面才可得到更准确的结论。

参考文献

- 1 Cai Q, Shu XO, Jin F, *et al.* Genetic polymorphisms in the estrogen receptor alpha gene and risk of breast cancer: results from the Shanghai Breast Cancer Study [J]. *Cancer Epidemiol Biomarkers Prev*, 2003, 12(9):853 - 859
- 2 Chen WY, Bertone Johnson ER, Hunter DJ, *et al.* Associations between polymorphisms in the vitamin D receptor and breast cancer risk [J]. *Cancer Epidemiol Biomarkers Prev*, 2005, 14(10):2335 - 2339
- 3 Bai Y, Yu Y, Yu B, *et al.* Association of vitamin D receptor polymorphisms with the risk of prostate cancer in the Han population of

- Southern China [J]. *BMC Med Genet*, 2009, 10:125
- 4 Shi YY, He L. SHEsis, a powerful software platform for analyses of linkage disequilibrium, haplotype construction, and genetic association at polymorphism loci [J]. *Cell Res*, 2005, 15(2):97 - 98
- 5 Hutchinson PE, Osborne JE, Lear JT, *et al.* Vitamin D receptor polymorphisms, associated with altered prognosis in patients with malignant melanoma [J]. *Clin Cancer Res*, 2000, 6(2):498 - 504
- 6 Lyakhovich A, Aksenov N, Pennanen P, *et al.* Vitamin D induced up-regulation of keratinocyte growth factor (FGF-7/KGF) in MCF-7 human breast cancer cells [J]. *Biochem Biophys Res Commun*, 2000, 273(2):675 - 680
- 7 John EM, Schwartz GG, Koo J, *et al.* Sun exposure, vitamin D receptor gene polymorphisms, and risk of advanced prostate cancer [J]. *Cancer Res*, 2005, 65(12):5470 - 5479
- 8 Curran JE, Vanghan T, Lea RA, *et al.* Association of A vitamin D receptor polymorphism with sporadic breast cancer development [J]. *Int J Cancer*, 1999, 83(6):723 - 726
- 9 Ludin AC, Soderkvist P, Eriksson B, *et al.* Association of breast cancer progression with a vitamin D receptor gene polymorphism [J]. South - East Sweden Breast Cancer Group. *Cancer Res*, 1999, 59(10):2332 - 2334
- 10 Guy M, Lowe LC, Bretherton - Watt D, *et al.* Vitamin D receptor gene polymorphisms and breast cancer risk [J]. *Clin Cancer Res*, 2004, 10(16):5472 - 5481
- 11 Trabert B, Malone KE, Daling JR, *et al.* Vitamin D receptor polymorphisms and breast cancer risk in a large population - based case - control study of Caucasian and African - American women [J]. *Breast Cancer Res*, 2007, 9(6):84
- 12 Lowe LC, Guy M, Mansi JL, *et al.* Plasma 25 - hydroxy vitamin D concentrations, vitamin D receptor genotype and breast cancer risk in a UK Caucasian population [J]. *Eur J Cancer*, 2005, 41(8):1164 - 1169

(收稿:2012-01-05)
(修回:2012-02-17)

铜陵地区儿童过敏性疾病过敏原的研究

宋文辉 刘 萍 周云霞 朱应玉 胡春玖 王万平 王华峰 江文胜 张丽新

摘 要 目的 探讨铜陵地区儿童过敏性疾病过敏原的分布特点, 为本地区儿童常见过敏性疾病的防治提供科学依据。
方法 选择患有儿童哮喘、过敏性鼻炎和特异性皮炎等的患儿 50 例, 男性 31 例, 女性 19 例, 平均年龄 6.32 ± 3.13 岁。所有对象均选用 20 种过敏原进行皮肤点刺试验, 以组胺作阳性对照, 生理盐水作阴性对照。
结果 铜陵地区吸入性过敏原以粉尘螨阳性率最高为 84%, 其次是户尘螨阳性率 82%、猫毛和狗上皮阳性率 54%、蟑螂阳性率 48%、艾蒿和葎草、玉米花粉阳性率 46%。食

基金项目:铜陵市科技计划项目(2009NS20);铜陵市卫生局科研项目(2009-12)

作者单位:244009 安徽省铜陵市人民医院儿科(宋文辉、刘萍、周云霞、江文胜、张丽新);皮肤科(朱应玉);耳鼻喉科(胡春玖);244100 铜陵县人民医院儿科(王万平);244000 铜陵有色职工总医院儿科(王华峰)

通讯作者:宋文辉,主任医师,电子信箱:songwenhui66@163.com